

Optimal Control Procedure for Calculating a Typical Launch Vehicle Trajectory Based on Maximizing Payload

S. Shahmirzai Jashoghani^{1*} and M. Nosratollahi²

1. Faculty of Engineering, University Azad Republic

2. Faculty of Aerospace Engineering, University Shahid Beheshti

*University Azad Republic Squire, Garmsar, IRAN

shahmirzaee2000@yahoo.com

In this research optimal trajectory of launch vehicle based on maximizing payload is being attended. At first, motion of missile concluding modeling of environment, atmosphere, gravity, mass, motion equations and aerodynamic coefficients would be simulated. Then procedure of an optimized design by using optimal control theory would be described. Applying variational calculus and mathematical modeling of optimization problems would lead project to a two point boundary condition problem which would be solved by numerical solutions such as steepest descent. At last a code would be generated in which optimal trajectory of missile calculated by using indirect optimal control and steepest descent numerical solution.

An interesting point in this article is that some variables are used both as state and control variables. Hence state control variables here are divided to two groups, slow state variables concluding ones which are only state variables, and fast state variables concluding ones which are both state variables and control variables simultaneously. Solution for such control problems is described here.

Keywords:Optimal control theory, multi stage launch vehicle, pitch program, fast state variable, slow state variable

1. Instructor (Corresponding Author)
2. Assistant Professor

گزارش فنی

روش کنترل بهینه برای تعیین مسیر بهینه موشک ماهواره‌بر، برپایه جرم بار محموله ماکزیمم

صدیقه شاه‌میرزاei جشووقانی^{۱*}، مهران نصرت‌الله‌ی^۲

۱- دانشکده فنی مهندسی، دانشگاه آزاد اسلامی

۲- دانشکده مهندسی هوافضا، دانشگاه شهید بهشتی

* گرمسار، میدان دانشگاه آزاد اسلامی

shahmirzaee2000@yahoo.com

در این مقاله، سعی شده است به روش‌هایی برای یافتن مسیر بهینه موشک ماهواره‌بر با هدف بیشینه‌سازی بار محموله پردازیم، در ابتدا حرکت موشک به صورت کامل مدل‌سازی می‌شود. این مدل‌سازی شامل مدل‌سازی محیط، اتمسفر، جاذبه و شکل زمین، مدل‌سازی جرمی، مدل‌سازی معادلات حرکت و در نهایت مدل‌سازی خرابی‌ایرودینامیکی موشک است. سپس مراحل تدوین یک روش طراحی بهینه به کمک تئوری کنترل بهینه شرح داده می‌شود. با استفاده از حساب تغییرات، مدل‌سازی ریاضی مسائل بهینه‌سازی، منجر به خلق یک مسئله شرایط مزدی دو نقطه‌ای مجزا می‌شود و برای حل آن از روش‌های عددی و از جمله روش سریع‌ترین سقوط استفاده می‌شود. در نهایت نرم‌افزاری تهیه شده است که در آن با استفاده از روش غیرمستقیم کنترل بهینه و حل عددی سریع‌ترین سقوط، مسیر بهینه موشک ماهواره‌بر، تعیین می‌شود. یکی از شرایط جالب توجه در این مقاله، آن است که تعدادی از متغیرها هم متغیر حالت و هم کنترل ظاهر شده‌اند. بنابراین در اینجا متغیرهای حالت به دو دسته متغیرهای حالت کند، شامل متغیرهایی که فقط متغیر حالتند و متغیرهایی حالت سریع شامل متغیرهایی که هم متغیر حالت و هم متغیر کنترلی‌اند، تقسیم می‌شوند. حل این نوع مسئله کنترل بهینه در این مقاله ارائه شده است.

واژه‌های کلیدی: تئوری کنترل بهینه، موشک ماهواره‌بر چندمرحله‌ای، برنامه پیج، متغیر حالت سریع، متغیر حالت کند.

فهرست علائم

R_p	شعاع زمین در قطبها
r	شعاع حامل موشک
T	پیشرانش
T_{vac}	پیشرانش خلا
V	سرعت
ϕ	عرض جغرافیایی
ψ	زاویه قطبی
θ	زاویه مسیر
δ	زاویه پیج
	زاویه گیمبال

مقدمه

یکی از مراحل مهم در طراحی موشک‌های ماهواره‌بر، طراحی برنامه زاویه پیج و در واقع یافتن مسیر بهینه است. در بسیاری از اوقات

D	پسا
e	خروج از مرکزیت بینی
g_0	کتاب جاذبه در سطح زمین
h	ارتفاع ژئوپتانسیل
I_{sp}	ضریبه و وزنه
I_{yy}	مان ایرسی لحظه‌ای در راستای محور y
I	فاصله بین مرکز جرم لحظه‌ای موشک و نقطه‌ای پیشرانش
M	گشتاور پیج
m	جرم
q	نرخ تغییرات زاویه پیج
R_e	شعاع زمین در استوا

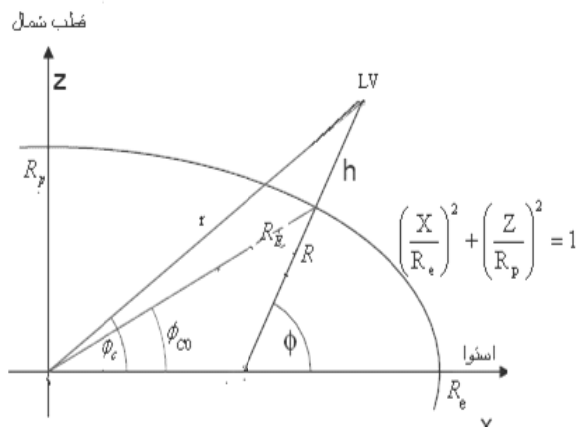
۱. مرتبی

۲. استادیار

با توجه به مدل زمین و بر اساس رابطه (۲) شتاب جاذبه از رابطه (۳) حاصل می‌شود.

$$g = g_0 \frac{R_e^2 (1 - e \sin^2 \phi)^2}{(R_e (1 - e \sin^2 \phi) + h)^2} \quad (3)$$

رابطه (۳) نشان‌دهنده این موضوع است که شتاب گرانش در ارتفاع h تابعی از عرض جغرافیایی است که البته این به‌دلیل وابستگی شاعع زمین به عرض جغرافیایی است. همچنین در رابطه (۳)، h ارتفاع ژئوپتانسیل، R_E شاعع زمین و g_0 شتاب جاذبه در سطح زمین است. نکته مهم در رابطه (۳)، نحوه محاسبه ارتفاع ژئوپتانسیل است؛ اگر چنانچه مدل زمین کروی باشد؛ مماس بر سطح زمین در همه جا بر شاعع زمین عمود است بنابراین ارتفاع هندسی و ارتفاع ژئوپتانسیل یکسان خواهند بود. اما در مورد مدل بیضوی، وضعیت متفاوت است و ارتفاع ژئوپتانسیل را باید به‌دست آورد.



شکل ۱- بیضی مرتع به عنوان مدل زمین

به منظور محاسبه ارتفاع ژئوپتانسیل، کافیست که فاصله موشک از خط مماس بر سطح زمین بیضوی به‌دست آید؛ بنابراین ابتدا، شبیه مماس بر سطح زمین بیضوی محاسبه می‌شود و سپس معادله خطی ای که موشک را به سطح زمین متصل می‌کند و از سوی دیگر عمود بر مماس بر سطح زمین است محاسبه می‌شود؛ با حل هم‌زمان معادله بیضی و معادله این خط عمود، نقطه تقاطع که در واقع نقطه پای عمود موشک است (x_0, y_0, z_0)، به‌دست می‌آید. (معمولًاً برای حل چنین دستگاه معادلاتی، نیاز به استفاده از روش‌های عددی است که در این مقاله از روش سایدل^۳ استفاده شده است).

براساس معیارهایی از قبیل کمترین مصرف سوخت، کمترین جرم اولیه موشک یا ماکریم بار محمولة قابل حمل توسط موشک، مسیر موشک تعیین می‌شود. آن‌چه هدف این مقاله است؛ معرفی یک فرایند خودکار، برای تعیین برنامه پیج، بر اساس معیار ماکریم‌سازی بار محمولة است.

فرایند بهینه‌سازی شامل یافتن بهترین مسیر با هدف یا اهداف خاص است. مسئله بهینه‌سازی مسیر، به‌دلیل یافتن تاریخچه کترلی مناسب است که تحت آن، تابع هدف خاص، با معادلات دیفرانسیل حرکت بهینه می‌شود. در این مقاله، مسیر بهینه موشک ماهواره‌بر با هدف بهینه‌سازی بار محمولة، با استفاده از روش‌های کترل بهینه به‌دست آمده است.

مدل‌سازی حرکت

مدل‌سازی کامل حرکت یک موشک، به چهار قسم تقسیم می‌شود؛ ۱- مدل‌سازی محیط شامل مدل‌سازی اتمسفر، جاذبه و شکل زمین؛ ۲- مدل‌سازی جرمی؛ ۳- مدل‌سازی معادلات حرکت و ۴- مدل‌سازی ضرایب آیرودینامیکی موشک.

با توجه به تأثیری که شرایط اتمسفر بر روی پیشرانش و نیروهای ایرودینامیکی دارد؛ لازم است تا در طی زمان کارکرد موشک- بسته به ارتفاع لحظه‌ای موشک- فشار و چگالی اتمسفر محاسبه شود. در این مقاله، با توجه به قوانینی که بین فشار، دما و چگالی با ارتفاع حاکم است، اتمسفر استاندارد شبیه‌سازی شده است.

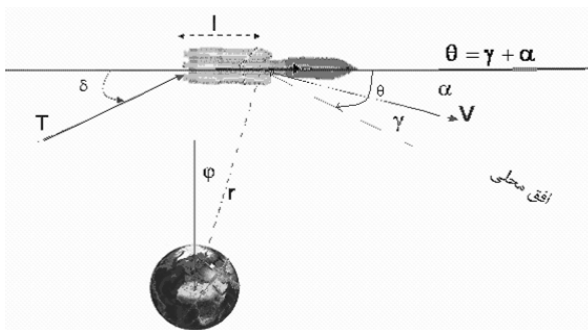
[۱] به‌علت وجود نیروهای گریز از مرکز، زمین با چرخش شبانه‌روزی حول خودش، دیگر نمی‌تواند کره‌ای کامل باشد و لذا کره‌ای خواهد بود که در دو قطب پهن و در استوا برآمده است و با این تفاسیر، مدل بیضی‌گون چرخان با توزیع جرم یکنواخت، با دقیق‌ترین مدل از زمین است که در این تحقیق از آن استفاده شده است. (رابطه (۱)). همچنین از مدل زمین بیضوی با توزیع جرم یکنواخت، استفاده شده است [۲].

$$\left(\frac{X}{R_e}\right)^2 + \left(\frac{Z}{R_p}\right)^2 = 1 \quad (1)$$

در رابطه (۱)، (R_e) شاعع زمین در استوا ۶۳۷۸/۳۸۸ کیلومتر و (R_p) شاعع زمین در قطب‌ها، ۶۳۵۶/۹۱۲ کیلومتر است. اگر R فاصله بین مرکز زمین و نقطه‌ای روی زمین بیضی‌گون با عرض جغرافیایی ϕ باشد (شکل (۱))، می‌توان R را از رابطه (۲) به‌دست آورد که خطای آن کمتر از ۱/۰ کیلومتر است. در رابطه (۲)، خروج از مرکزیت بیضی است.

$$R = R_e (1 - e \sin^2 \phi) \quad (2)$$

مرکز جرم لحظه‌ای موشک و نقطه اثر نیروی پیشرانش هستند. این متغیرها در شکل (۲) نشان داده شده‌اند:



شکل ۲- نمایش نیروها و زوایای مورد نیاز در معادله حرکت

اینک با استفاده از روابط هندسی که فاصله دو نقطه را محاسبه می‌کنند، فاصله نقطه پای عمود موشک (x_0, y_0, z_0) و موشک (x_m, y_m, z_m) به دست می‌آید که همان ارتفاع ژئوپتانسیل است.

$$h_G = \sqrt{(X_m - X_0)^2 + (y_m - y_0)^2 + (Z_m - Z_0)^2} \quad (4)$$

با گذشت زمان، به علت مصرف سوخت، تغییرات زیادی در جرم، مرکز جرم و گشتاور اینرسی به وجود می‌آید. در هنگام سوزش سوخت، جرم موشک در هر لحظه رو به زوال گذاشته و از طرفی توزیع جرمی آن نیز دستخوش تغییرات می‌شود؛ بنابراین مرکز جرم و ممان‌های اینرسی آن دائمًا در حال تغییرند، در این مقاله از راه کار مرجع [۳] برای محاسبه مرکز جرم و ممان‌های اینرسی لحظه‌ای استفاده شده است.

بهینه‌سازی

مسائل برنامه‌ریزی بهینه در سیستم‌های دینامیکی شامل مسائل کنترل بهینه هستند. دو روش عمده برای رویارویی با این مسئله وجود دارد؛ برنامه‌ریزی پویای بلمن و دیگری استفاده از حساب تغییرات. در این تحقیق از روش دوم استفاده شده است.

مسئله عبارتست از یافتن کنترل قابل قبول و بهینه $x(t) \in R^m$ که باعث شود تا سیستم با رابطه (۶)، با طی یک منحنی مسیر قابل قبول x تابع معیار سیستم را که به صورت معادله (۷) است، حداقل کند [۶].

$$\begin{cases} \dot{x} = f(x(t), u(t), t) & t_0 \leq t \leq t_f \\ x(t_0) = x_0 \end{cases} \quad (6)$$

$$J = h[x(t_f), t_f] + \int_{t_0}^{t_f} g[x(t), u(t), t] dt \quad (7)$$

در معادلات بالا، J شاخص کارآیی یا تابع هزینه و همان تابع معیار سیستم است که به صورت اسکالر است. $x(t) \in R^n$ تابع برداری با n مؤلفه است $x(t) \in R^n$ که بردار حالت نامیده می‌شود. همچنین $u(t)$ فرمان کنترل است که یک تابع برداری با m مؤلفه $u(t) \in R^m$ است و t_0, t_f به ترتیب معرف زمان نهایی و اولیه هستند. در بسیاری از مسائل بهینه‌سازی، زمان نهایی آزاد است. البته ذکر این نکته ضروری است که آن‌چه بیان شد، در صورت عدم وجود محدودیت بر روی بردار کنترل و حالت است.

با توجه به روش حساب تغییرات، تابع هامیلتونی به صورت معادله (۸) تعریف می‌شود [۶]:

همچنین، برای محاسبه ضرایب آیرودینامیک موشک از راهکار مرجع [۳] و نرم‌افزار میسایل داتکام استفاده شده است که در اینجا به طور خلاصه به آن اشاره می‌شود: در ابتدا پارامترهای مورد نیاز نرم‌افزار میسایل داتکام نظیر مرکز جرم، طول، قطر و بالک‌های (در صورت وجود) موشک و ... بارگذاری می‌شود و ضرایب آیرودینامیک برای ماخها و زوایای حمله متفاوت (در این مقاله برای 10° زاویه حمله و 6 عدد ماخ متفاوت) به دست می‌آید. سپس در هنگام شبیه‌سازی، با توجه به عدد ماخ و زاویه حمله جاری موشک و با ضرایب به دست آمده برای دیگر زوایا و اعداد ماخ، درون‌یابی صورت گرفته و ضرایب برای حالت جاری موشک به دست می‌آید.

پس از آن، معادلات حرکت موشک، با فرض زمین غیرچرخشی و حرکت موشک در صفحه، به صورت مجموعه معادلات رابطه (۵) نشان داده می‌شوند [۵] و [۶]:

$$\begin{cases} \dot{\varphi} = \frac{V \cdot \cos\gamma}{r} \\ \dot{r} = V \cdot \sin\gamma \\ \dot{V} = \frac{T \cos(\theta - \gamma + \delta) - D}{m} - g \sin\gamma \\ \dot{\gamma} = \frac{T \sin(\theta - \gamma + \delta) + L}{mV} + \left(\frac{V}{r} - \frac{g}{V} \right) \cos\gamma \\ \dot{\theta} = q + \frac{V \cdot \cos\gamma}{r} \\ \dot{q} = \frac{M - T l \sin\delta}{I_{yy}} \end{cases} \quad (5)$$

در رابطه (۵)، φ زاویه قطبی، γ زاویه مسیر، V سرعت، T پیشرانش، θ زاویه پیچ، δ زاویه گیمبال، D پسا، m جرم، r شعاع حامل موشک، q نرخ تغییرات زاویه پیچ، M گشتاور پیچ، I_{yy} ممان اینرسی لحظه‌ای در راستای محور y و l فاصله بین

یکی از مهم‌ترین و اساسی‌ترین کارها در مسائل بهینه‌سازی، انتخاب تابع هزینه است. در این تحقیق، هدف بیشینه‌کردن جرم نهایی است؛ بنابراین تابع J به صورت رابطه (۱۳) تعریف می‌شود در این صورت $g(x, u, t) = -m(t_f)$ برابر صفر و $h(x, u, t) = -m(t_f)$ هستند.

$$J = -m(t_f) \quad (13)$$

معادلات کمک حالت

در قسمت قبل، بردار حالت و بردار کنترل مشخص شدند. در این قسمت با توجه به رابطه (۸) تابع هامیلتونی تشکیل می‌شود:

$$\begin{cases} H(\lambda_x, \lambda_y, x, y, u, t) = \lambda_x^T f(x, y, u, t) + \lambda_y^T G(x, y, u, t) \\ H = \dot{\lambda}_\phi \varphi + \dot{\lambda}_r r + \dot{\lambda}_v V + \dot{\lambda}_\gamma \gamma + \dot{\lambda}_m m + \dot{\lambda}_\theta \theta + \dot{\lambda}_q q \end{cases} \quad (14)$$

در رابطه (۱۴)، $\varphi, r, V, \gamma, m, \theta, q$ از مجموعه معادلات (۵) جایگزین می‌شوند. اینک با توجه به معادله اول از رابطه (۱۰)، معادلات دیفرانسیلی کمک حالت به دست می‌آید:

$$\dot{\lambda}_x^T = -\frac{\partial H}{\partial x} = -\lambda_x^T \frac{\partial f}{\partial x} - \lambda_y^T \frac{\partial G}{\partial x} \quad (15)$$

و بنابراین:

$$\dot{\lambda}_\phi = -\frac{\partial H}{\partial \varphi} = 0 \quad (16)$$

$$\begin{aligned} \dot{\lambda}_r &= -\frac{\partial H}{\partial r} = \\ &\lambda_\phi \left[\frac{V \cdot \cos \gamma}{r^2} \right] - \lambda_v \left[\frac{T_r \cos(\theta - \gamma + \delta) - D_r}{m} + \mu \frac{2 \sin \gamma}{r^2} \right] \\ &- \lambda_\gamma \left[\frac{T_r \sin(\theta - \gamma + \delta) + L_r}{mV} + \left(-\frac{V}{r^2} + \frac{2\mu}{Vr^3} \right) \cos \gamma \right] \\ &- \lambda_q \left[\frac{M_r - T_r l \sin \delta}{I_{yy}} \right] \end{aligned} \quad (17)$$

$$\begin{aligned} \dot{\lambda}_v &= -\frac{\partial H}{\partial V} = \\ &-\lambda_r [\sin \gamma] - \lambda_\phi \left[\frac{\cos \gamma}{r} \right] + \lambda_v \left[\frac{D_v}{m} \right] \\ &+ \lambda_\gamma \left[\frac{T_s \sin(\theta - \gamma + \delta) + L_v}{mV^2} - \frac{L_v}{mV} - \left(\frac{1}{r} + \frac{\mu}{V^2 r^2} \right) \cos \gamma \right] \\ &- \lambda_q \left[\frac{M_v}{I_{yy}} \right] \end{aligned} \quad (18)$$

$$\begin{aligned} \dot{\lambda}_\gamma &= -\frac{\partial H}{\partial \gamma} = \\ &-\lambda_r [V \cdot \cos \gamma] + \lambda_\phi \left[\frac{V \sin \gamma}{r} \right] - \lambda_v \left[\frac{T_s \sin(\theta - \gamma + \delta) - D_\gamma}{m} - \mu \frac{\cos \gamma}{r^2} \right] \\ &+ \lambda_q \left[\frac{T_c \cos(\theta - \gamma + \delta) + L_\gamma}{mV} + \left(\frac{V}{r} - \frac{\mu}{Vr^2} \right) \sin \gamma \right] - \lambda_q \left[\frac{M_\gamma}{I_{yy}} \right] \end{aligned} \quad (19)$$

$$H = g(x, u, t) + \lambda^T(t) f(x, u, t) \quad (8)$$

در رابطه (۸)، $\lambda(t) \in R^n$ هستند و به آنها متغیرهای کمک حالت یا ضرایب لاگرانژ گفته می‌شود. در این صورت تابع هزینه را می‌توان به صورت معادله (۹) بازنویسی کرد [۶]:

$$J = h(x(t_f), t_f) + \int_{t_0}^{t_f} (H - \lambda^T x) dt \quad (9)$$

برای مینیم‌سازی تابع J لازم است که تابع هامیلتونی مینیمم شود. معمولاً زمان اولیه و مقادیر متغیرهای حالت در زمان اولیه مشخص است. به طور خلاصه مجموعه شرایط لازم به صورت مجموعه روابط

(۱۰) بیان می‌شوند [۶]:

$$\begin{cases} \dot{\lambda}^*(t) = -\left(\frac{\partial H}{\partial x}(x^*(t), u^*(t), \lambda^*(t), t) \right)^T \\ \dot{x}^* = \left(\frac{\partial H}{\partial \lambda}(x^*(t), u^*(t), \lambda^*(t), t) \right)^T \\ \left\{ \frac{\partial H}{\partial u}(x^*(t), u^*(t), \lambda^*(t), t) \right\} = 0 \\ \left(\frac{\partial h}{\partial x}(x^*(t_f), t_f) - \lambda^*(t_f) \right)^T \delta x_f + \left[H(x^*(t_f), u^*(t_f), \lambda^*(t_f), t_f) + \frac{\partial h}{\partial t}(x^*(t_f), t_f) \right] \delta t_f = 0 \end{cases} \quad (10)$$

در تمام روابط بالا، متغیرهای حالت و کنترل که با * نشان داده شده‌اند نشان‌دهنده متغیر حالت و کنترل در حالت بهینه هستند. با توجه به انتخاب روش استفاده از حساب تغییرات، اینک در این قسمت، با توجه به مجموعه معادلات (۵)، مسئله به‌فرم مورد نظر در مسائل کنترل بهینه بیان می‌شود. ضمن اینکه معادله دیگری که تغییرات جرم را در نظرمی‌گیرد، به مجموعه معادلات (۵) اضافه می‌شود.

$$\dot{m} = \frac{c}{I_{sp} g_0} T_{vac} \quad (11)$$

در رابطه (۱۱)، c تعداد موتور، I_{sp} ضربه ویژه و T_{vac} پیشرانش خلاً هستند. اگر چنانچه مجموعه معادلات (۵) و معادله (۱۱) به عنوان معادلات دیفرانسیل و $\dot{\delta}, \theta, q$ به عنوان متغیرهای کنترل در نظر گرفته شوند، مشاهده می‌شود که $\dot{\theta}, \dot{q}$ به عنوان متغیرهای متغیر حالت و هم کنترل ظاهر شده‌اند. بنابراین در اینجا متغیرهای حالت به دو دسته متغیرهای حالت کند، شامل متغیرهای φ, r, V, γ, m و متغیرهای حالت سریع شامل $\dot{\theta}, \dot{q}$ تقسیم می‌شوند [۴] و بنابراین:

$$\begin{cases} \dot{x} = f(x, y, u, t) \rightarrow x = [\varphi, r, V, \gamma, m]^T \\ G(x, y, u, t) = 0 \rightarrow y = [\theta, q, \delta]^T \end{cases} \quad (12)$$

در معادلات بالا در هر نقطه از مسیر باید مقادیر $\theta, q, \delta, \lambda_q, \lambda_\theta$ محاسبه شوند، لذا به معادلاتی اضافه نیاز است که با توجه به رابطه جبری $G(x, y, u, t) = 0$ به شرح ذیل به دست می‌آیند:

$$G_1 = q = 0 \quad (27)$$

$$G_2 = \frac{M - T l \sin \delta}{I_{yy}} = 0 \quad (28)$$

بنابراین ابتدا معادله (۲۷) حل می‌شود؛ سپس معادلات (۲۴)، (۲۶) و (۲۸) به طریق عددی حل شده و $\theta, \delta, \lambda_q$ به دست می‌آیند و در نهایت معادله (۲۵) حل می‌شود و λ_θ حاصل می‌شود.

شرایط اولیه

عموماً شرایط اولیه در مسائل کنترل بهینه از شرایط اولیه موشک به دست می‌آیند. در حالت کلی زمان اولیه برای شروع محاسبات بهینه‌سازی، انتهای فاز پرواز عمودی است. با توجه به این که در این فاز، معادلات حرکت موشک کاملاً مشخص هستند، با انتگرال‌گیری از معادلات (۵) می‌توان شرایط را در پایان فاز عمودی پرتاب محاسبه کرد و شرایط اولیه را منطبق بر مقادیر متغیرهای حالت در پایان فاز عمودی در نظر گرفت. البته علت اصلی این کار این است که درست در لحظه بلندشدن موشک، سرعت موشک صفر است و لذا معادله $\dot{\theta} = 0$ دچار تکینی می‌شود. برای رفع این مشکل می‌توان سرعت اولیه موشک را به جای صفر، برابر اثر چرخش زمین در سرعت موشک فرض کرد. در نهایت شرایط اولیه به صورت زیر در نظر گرفته می‌شود:

$$\begin{cases} \phi_0 = 0 \text{ deg} \\ r_0 = 6378833 \text{ m} \\ V_0 = R_e \omega_e \cos \phi_e \text{ m/s} \\ \gamma_0 = 89 \text{ deg} \\ m_0 = M_0 \\ \theta_0 = 89 \text{ deg} \\ q_0 = -\frac{V_0 \cos \gamma_0}{r_0} \text{ rad/s} \end{cases} \quad (29)$$

شرایط جداش

با توجه به مجموعه معادلات (۵)، برخی از متغیرها در جریان جداش بوستر یا مراحل اول و دوم موشک تغییر می‌کند و در آن‌ها گستگی مشاهده می‌شود و به عبارت بهتر رژیم آن‌ها تغییر می‌کند. این متغیرها عبارتند از جرم، ممان اینترسی، پیشراش خلاصه، تعداد موتور و ضرایب آیرودینامیکی که در محاسبه نیروها و گشتاور آیرودینامیکی به کار می‌روند. بنابراین در هنگام تغییر مرحله و زمان جداش‌ها، باید

$$\begin{aligned} \dot{\lambda}_m &= -\frac{\partial H}{\partial m} = \\ &\lambda_v \left[\frac{T \cos(\theta - \gamma + \delta) - D}{m^2} \right] + \lambda_\gamma \left[\frac{T \sin(\theta - \gamma + \delta) + L}{m^2 V} \right] \\ &+ \lambda_q \left[I_{yy} \left(\frac{M - T l \sin \delta}{I_{yy}^2} \right) \right] \end{aligned} \quad (20)$$

برای حل معادلات دیفرانسیل کمک حالت؛ $\lambda_\theta, \lambda_q$ نیز دیده می‌شوند و از سوی دیگر حالت دیفرانسیلی آن‌ها موجود نیست؛ برای رفع این مشکل کافیست تا این پارامترها بر حسب متغیرهای کمک حالت نوشته و در معادلات دیفرانسیل کمک حالت جایگزین شوند:

$$\lambda_q = \left[\frac{M_\theta}{I_{yy}} \right]^{-1} \left(\lambda_v \left[\frac{T \sin(\theta - \gamma + \delta) + D_\theta}{m} \right] - \lambda_\gamma \left[\frac{T \cos(\theta - \gamma + \delta) + L_\theta}{m V} \right] \right) \quad (21)$$

$$\lambda_\theta = -\lambda_q \left[\frac{M_q}{I_{yy}} \right] \quad (22)$$

رابطه (۲۱) و (۲۲) بر اساس رابطه (۲۳) به دست آمدند.

مقادیر متغیرهای کنترل در طول مسیر باید محاسبه شوند. متغیرهای کنترل با توجه به معادله سوم از رابطه (۱۰) به شکل رابطه (۲۳) بیان می‌شوند و در نهایت با استفاده از رابطه (۲۳) به دست می‌آیند؛ لذا متغیرهای کنترلی $\delta, q, \theta, \lambda_\theta, \lambda_q$ ، باید معادلات (۲۴) و (۲۵) را ارضاء کنند.

$$\begin{cases} \frac{\partial H}{\partial y} = \lambda_x^T \frac{\partial f}{\partial y} + \lambda_y^T \frac{\partial g}{\partial y} = 0 \\ \frac{\partial H}{\partial u} = \lambda_x^T \frac{\partial f}{\partial u} + \lambda_y^T \frac{\partial g}{\partial u} = 0 \end{cases} \quad (23)$$

توجه شود که در اینجا متغیرهای حالت سریع به عنوان متغیرهای کنترل هستند:

$$\begin{aligned} \frac{\partial H}{\partial \theta} &= -\lambda_v \left[\frac{T \sin(\theta - \gamma + \delta) + D_\theta}{m} \right] + \\ &\lambda_\gamma \left[\frac{T \cos(\theta - \gamma + \delta) + L_\theta}{m V} \right] + \lambda_q \left[\frac{M_\theta}{I_{yy}} \right] = 0 \end{aligned} \quad (24)$$

$$\frac{\partial H}{\partial q} = \lambda_\theta + \lambda_q \left[\frac{M_q}{I_{yy}} \right] = 0 \quad (25)$$

$$\begin{aligned} \frac{\partial H}{\partial \delta} &= -\lambda_v \left[\frac{T \sin(\theta - \gamma + \delta)}{m} \right] + \\ &\lambda_\gamma \left[\frac{T \cos(\theta - \gamma + \delta)}{m V} \right] - \lambda_q \left[\frac{T l \cos \delta}{I_{yy}} \right] = 0 \end{aligned} \quad (26)$$

$$\begin{cases} \lambda_{\varphi}(t_f) = 0 \\ \lambda_r(t_f) = v_1 \frac{\partial \Theta_1}{\partial r} \Big|_{t_f} + v_2 \frac{\partial \Theta_2}{\partial r} \Big|_{t_f} \\ \lambda_v(t_f) = v_1 \frac{\partial \Theta_1}{\partial V} \Big|_{t_f} + v_2 \frac{\partial \Theta_2}{\partial V} \Big|_{t_f} \\ \lambda_\gamma(t_f) = v_2 \frac{\partial \Theta_2}{\partial \gamma} \Big|_{t_f} \\ \lambda_m(t_f) = -1 \\ \lambda_\theta(t_f) = 0 \\ \lambda_q(t_f) = 0 \end{cases} \quad (33)$$

حل عددی مسئله

پر واضح است که برای این مسئله راه حل تحلیلی وجود ندارد. روش حل عددی که در این تحقیق به کار گرفته شده است، روش سریع‌ترین سقوط است که بر مبنای یک حدس اولیه و اصلاح آن عمل می‌کند. حدس اولیه می‌تواند یک تاریخچه ثابت دستور هر یک از متغیرهای کنترلی باشد که به کمک رابطه (۳۴)، در یک فرایند تکراری اصلاح خواهد شد [۶]:

$$u_{i+1}(t) = u_i(t) - \tau \frac{\partial H_i}{\partial u}(t) \quad (34)$$

شایان ذکر است، برای انتخاب τ از استراتژی‌های مختلفی استفاده می‌شود. یک استراتژی ممکن به صورت رابطه (۳۵) است [۶]:

$$\tau = \frac{\frac{q}{100} |J|}{\left\| \frac{\partial H_i}{\partial u} \right\|^2} \quad (35)$$

مشخصات موشک ماهواره‌بر

مشخصات اصلی موشک ماهواره‌بر در دو جدول (۱) و (۲)، بیان شده است.

جدول ۱- مشخصات ابتدایی مراحل مختلف موشک

مرحله سوم	مرحله دوم	مرحله اول	پارامتر
.۰/۶	.۰/۹	.۱/۶	ضریب بار
دی‌متیل هیدرازین نامتقارن- تترا اکسید ازت		پیشران	
.۰/۰۶			$a_{p,c}$
.۰/۰۱۲۵			a_σ
.۰/۰۱۲۵			a_{CS}
.۰/۰۱۵			γ_{PS}
۳۵۰			$I_{spv}(s)$
۶۱۱ کیلوگرم بر متر مکعب	(UDMH)		چگالی سوت
۱۴۴۷ کیلوگرم بر متر مکعب	(N2O4)		چگالی اکسید کننده
.۲/۸		\dot{m}_{Ox} / \dot{m}_f	
۲ متر		طول نازل	
۳ متر		قطر	

مقادیر بهروز شده این متغیرها در معادلات جایگزین شوند.

شرایط نهایی

هدف از پرتاب، قراردادن بار محموله در یک مدار مشخص با ارتفاع مشخص است. در این تحقیق، هدف، قراردادن بار در یک مدار دایروی است؛ یعنی مداری با خروج از مرکز بیضوی صفر. اما در این قسمت با فرض اینکه مدار هدف، مدار انتقالی بیضوی باشد، به بررسی موضوع می‌پردازیم؛ پر واضح است که مدار دایروی حالت خاصی از مدار بیضوی است و شرایط مدار بیضوی، مدار دایروی را نیز شامل می‌شود.

برای قرارگیری موشک در نقطهٔ حضیض مدار، در زمان نهایی باید زاویهٔ مسیر برابر صفر شود. چنانچه در نقطهٔ ورود به مدار؛ $0 < \gamma < 0$ باشد، اتصال به مدار پس از نقطهٔ حضیض و اگر $0 < \gamma < 0$ باشد، اتصال به مدار قبل از نقطهٔ حضیض صورت می‌گیرد؛ در حالتی که در هنگام ورود به مدار زاویهٔ مسیر منفی باشد، منحنی ارتفاع دچار یک گودی به‌ستم ارتفاع‌های پایین می‌شود که اصطلاحاً در ارتفاع شب خوانده می‌شود.

برای برآورده شدن ارتفاع نیز باید رابطه (۳۰) برقرار شود که در این رابطه r_a فاصله نقطه اوج از مرکز زمین است و $\mu = g_0 R_E$

$$\theta_2 \equiv r_a - \left(\frac{2}{r} - \frac{V^2}{\mu} \right)^{-1} = 0 \quad (30)$$

همچنین باید رابطه (۳۱) برقرار شود که مقدار e از خروج از مرکزیت مدار بیضوی است.

$$\theta_2 \equiv e^2 - \frac{1}{\mu} \cos^2 \gamma \left(\frac{V^4 r^2}{\mu} - 2V^2 r \right) - 1 = 0 \quad (31)$$

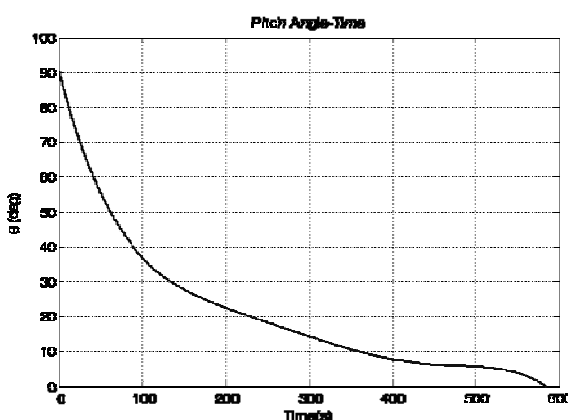
از سوی دیگر برآورده شدن معادلهٔ چهارم از رابطه (۱۰) ضروری است؛ با توجه به آزادبودن زمان نهایی و اینکه مقدار نهایی متغیرهای حالت بر روی سطح ($x(t_f)$) قرار گرفته‌اند؛ برای اراضی معادلهٔ چهارم از رابطه (۱۰)، باید معادلات رابطه (۳۳) برقرار شوند:

$$\begin{cases} H(x^*(t_f), u^*(t_f), \lambda^*(t_f), t_f) + \frac{\partial h}{\partial t}(x^*(t_f), t_f) = 0 \\ \frac{\partial h}{\partial x}(x^*(t_f), t_f) - \lambda^*(t_f) = \\ v_1 \left(\frac{\partial \Theta_1}{\partial x}(x^*(t_f), t_f) \right) + \dots + v_k \left(\frac{\partial \Theta_k}{\partial x}(x^*(t_f), t_f) \right) \end{cases} \quad (32)$$

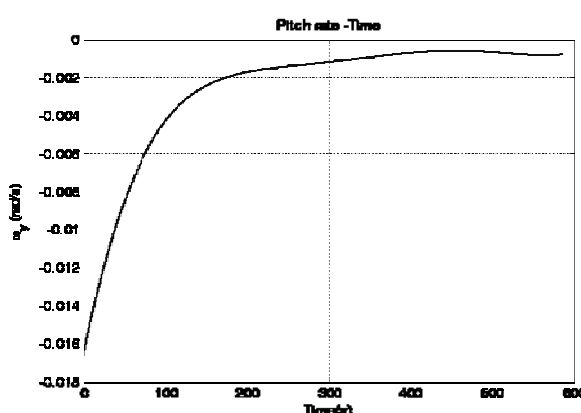
بنابراین شرایط نهایی مسئله به صورت معادلات رابطه (۳۳) خواهند شد:

نتایج شبیه‌سازی

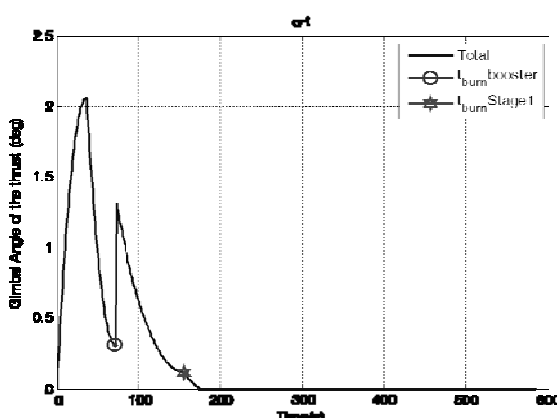
در نهایت برخی از نتایج، به خصوص نمودارهای مربوط به متغیرهای کنترل و در واقع سیاست کنترلی، نشان داده شده‌اند:



شکل ۳- تغییرات زاویه پیچ (θ) موشک نسبت به زمان



شکل ۴- نرخ تغییرات زاویه پیچ (q̇) موشک نسبت به زمان



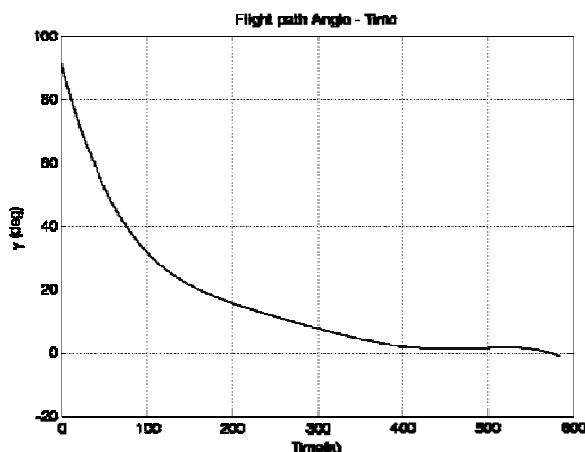
شکل ۵- تغییرات زاویه گیمبال (δ) نسبت به زمان

دیگر مشخصه‌ها			
بار محموله	۹۰۰ کیلوگرم	ارتفاع مدار	۳۰۰ کیلومتر
طول پوشش بار محموله	۳ متر	طول پوشش بار محموله	۲ متر
طول قفسه هدایت و کنترل	۲ متر		
مشخصات بوسترها، سوخت مرکب (CNY)			
ضریبه ویژه	۳۹۰ ثانیه	فشار محفظه احتراق	۷۰ اتمسفر
چگالی سوخت	gr/cm ³	فشار خروجی نازل	۱ اتمسفر
دما احتراق (K ⁰)	۳۶۹۰	ضریب پرشدنگی موتور	۰/۹۵
قطر	۱/۲ متر	استحکام تسلیم پوسته	۲ پاسکال
چگالی عایق	kg/m ³	ماکریم زمان کارکرد	۷۰ ثانیه
ضریب اطمینان	۱/۲	چگالی پوسته کیلوگرم مترمکعب	۷۸۰۰

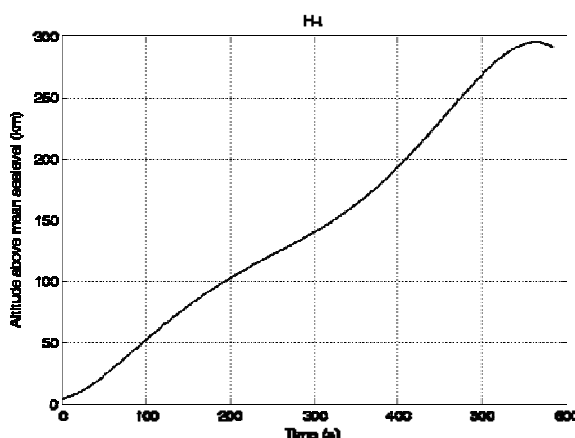
جدول ۲- مشخصات مراحل مختلف موشک

پارامتر	مرحله اول	مرحله دوم	مرحله سوم
جرم کل مرحله (تن)	۱۳۵/۹	۵۴/۱۱	۲۲/۰/۳
جرم نهایی کل (تن)	۵۷/۵۱	۲۵/۱۸	۱۰/۰/۲۵
جرم بلوک موشکی (تن)	۸۱/۷۹۳	۳۲/۰/۸۳۳	۱۳/۰/۳۴۸
جرم نهایی بلوک (تن)	۳/۴	۳/۱۴	۱/۲۵
جرم پیشان (تن)	۴۷/۶۲۴۱	۲۸/۹۳۶۲	۱۱/۷۸۱۷
جرم سوخت (تن)	۱۲/۵۳	۷/۶۱	۳/۱
جرم اکسید کننده (تن)	۳۵/۰/۹	۲۱/۳۲	۸/۶۸
جرم سازه (تن)	۲/۴۲	۳/۱۴۷	۱/۲۵
زمان سوزش (ثانیه)	۱۵۳/۳	۲۰/۷/۹۳	۲۳۳/۹۲
طول باک سوخت (متر)	۲/۴۵	۲/۱	۰/۸۷
طول بلوک موشکی (متر)	۷/۹۲	۱/۷۸	۰/۷۹
طول کل مرحله (متر)	۸/۳۷۵	۵/۸۹	۳/۶۰/۹
پیشانش خلا (کیلویوتون)	۱۰۶/۶۳	۱۴/۴۹	۸/۶
سرعت سوزش پیشان (kg/s)	۳۱۰/۶۵۴	۱۳۹/۱۶۱	۱۷۲/۹۲۹
مشخصات بوستر			
تعداد			۷/۷۵
جرم هر بوستر (تن)			۵۳۳/۳۱۵
چگالی پیشانش (کیلویوتون)			۲۴۸/۲۳۶
ضریبه ویژه (ثانیه)			۰/۸۰
جرم سوخت (تن)			m _{pb}
سرعت سوزش پیشان (kg/s)			۲۰۸/۰/۵۳
دیگر مشخصه‌ها			
طول کل موشک (متر)			۱۴/۶
مرکز جرم تا دماغه ۱			۲۲/۸۷
مرکز جرم تا دماغه ۳			۴/۵
مرکز جرم تا دماغه ۲			۸/۵

از موارد قابل توجه است که در شکل‌های (۷) و (۸) نشان داده شده‌اند.



شکل ۷- تغییرات زاویه مسیر موشک نسبت به زمان



شکل ۸- تغییرات ارتفاع موشک نسبت به زمان

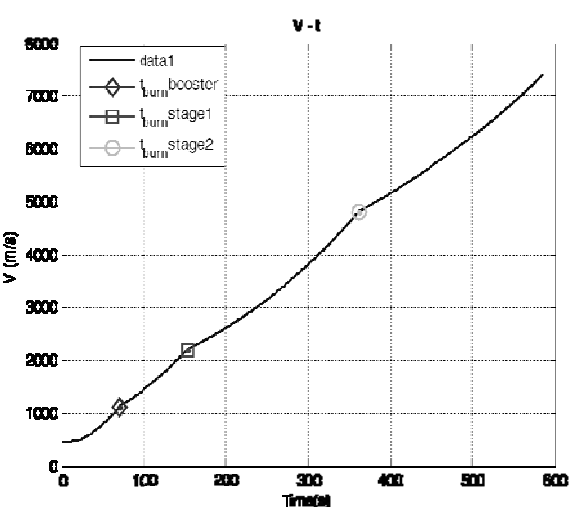
موشک مورد مطالعه در این تحقیق بر اساس جرم بار محموله ۹ تن طراحی شده بود و این در حالی است که در پایان، جرم باقیمانده ۱۰/۷ تن بود و این به دلیل ارائه برنامه مسیری بود که سبب می‌شود تا موشک به سرعت و ارتفاع مأموریت برسد، در حالیکه همچنان پیشانی برای آن باقیمانده است. بنابراین می‌توان این پیشان اضافی را با بار محموله‌ای به اندازه ۱/۷ تن جایگزین کرد. نمودار تغییرات جرم موشک در طی کارکرد آن در شکل (۹) قابل رویت است.

در قسمت‌های قبل اشاره شد که موشک سیستمی، جرمی متغیر است و ممان‌های اینرسی و مرکز جرم آن به طور مداوم در حال تغییر است؛ در ادامه تغییرات ممان‌های اینرسی و مرکز جرم موشک نیز نشان داده شده است، که بر اساس راهکار مرجع [۳] محاسبه شده‌اند.

زاویه پیج از جمله متغیرهای بردار کنترل بود. در موشک‌های ماهواره‌بر (و نیز بالستیک) معمولاً چند ثانیه اول، موشک به طور عمودی و با زاویه پیج ۹۰ درجه از زمین بلند می‌شود بنابراین در شکل (۳)، در لحظات اولیه، زاویه پیج برابر ۹۰ درجه است. از سوی دیگر در هنگام تزریق به مدار، باید این زاویه به صفر برسد. نکته دیگری که در شکل (۳) دیده می‌شود این است که بیشترین تغییرات زاویه پیج در طی کارکرد طبقه اول صورت گرفته است؛ به طوری که در زمان جدایش طبقه اول (ثانیه ۱۵۴) زاویه پیج به ۲۷ درجه رسیده است. این موضوع در شکل (۴) نیز که تغییرات زاویه پیج نسبت به زمان به تصویر کشیده شده است، به خوبی قابل دریافت است.

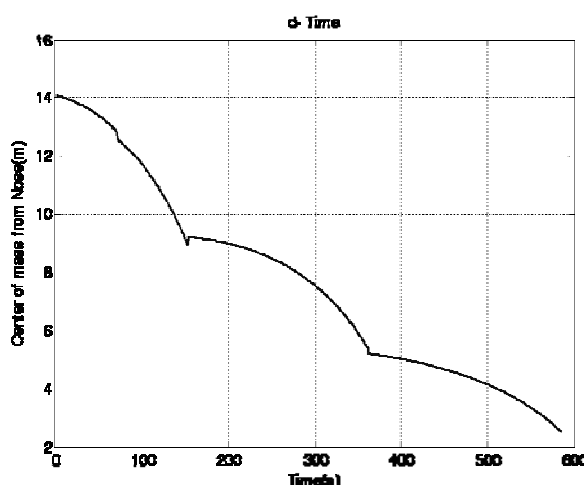
در شکل (۵) تغییرات زاویه بین بردار پیشرانش و محور موشک نشان داده شده است. همان‌طور که در شکل دیده می‌شود؛ در زمان‌های ۲۰ و ۱۵۴ ثانیه، تغییرات ناگهانی در زاویه بین بردار پیشرانش و محور موشک، رخ داده است که این زمان‌ها به ترتیب زمان‌های جدایش بوسترها و طبقه اول است. همچنین در طی کارکرد طبقات دوم و سوم، زاویه بین بردار پیشرانش و محور موشک ثابت و برابر صفر درجه است. هم‌راستاشدن بردار پیشرانش با محور موشک سبب می‌شود تا گشتاور پیچشی بر موشک وارد نشود.

از دیگر نتایج قابل بررسی، نمودار سرعت موشک و وارسی سرعت پایانی موشک است که به سرعت مأموریت دست یافته باشد. در شکل (۶)، تغییرات سرعت موشک نسبت به زمان نشان داده شده است.

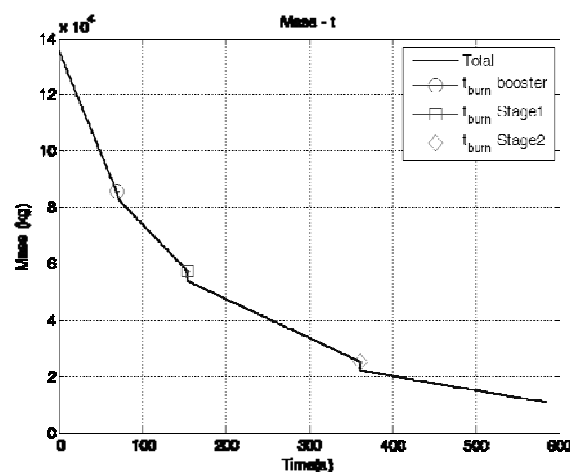


شکل ۶- تغییرات سرعت موشک نسبت به زمان

همچنین، زاویه مسیر γ که به صفر رسیده باشد و نیز ارتفاع موشک که به ارتفاع مأموریت، یعنی ارتفاع ۳۰۰ کیلومتری دست یافته باشد،

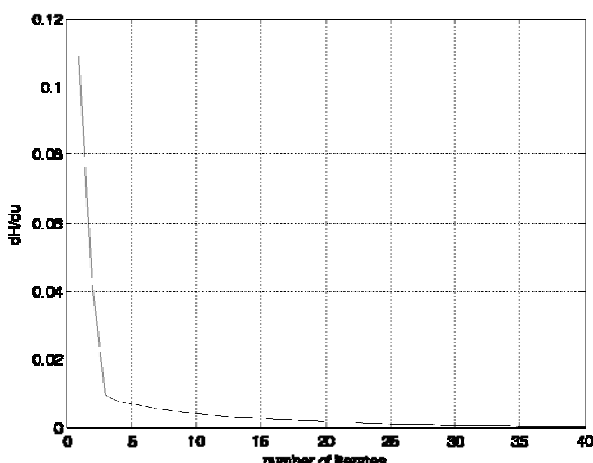


شکل ۱۲- تغییرات فاصله مرکز جرم موشک تا دماغه نسبت به زمان



شکل ۹- تغییرات جرم موشک نسبت به زمان

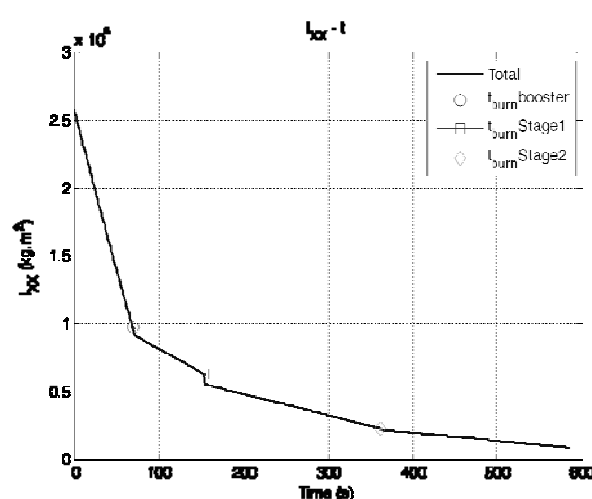
در شکل (۱۲)، مرکز جرم نسبت به دماغه موشک اندازه‌گیری می‌شود و لذا با مصرف پیش‌ران، دائمًا مرکز جرم به دماغه نزدیک‌تر می‌شود؛ نکته مهم در تمامی شکل‌های (۹-۱۲)، گستینگی آن هاست که به‌دلیل فرایند جدایش طبقات موشک رخ می‌دهد. اولین گستینگی که در حدود ثانیه ۷۰ رخ می‌دهد، به‌دلیل جدایش بوسترهاي موشک است و جدایش دوم که در حدود ثانیه ۱۵۴ رخ می‌دهد، به‌دلیل جدایش طبقه اول و پوشش بار محموله موشک است و در ثانیه ۳۶۲ جدایش طبقه دوم موشک رخ داده است.



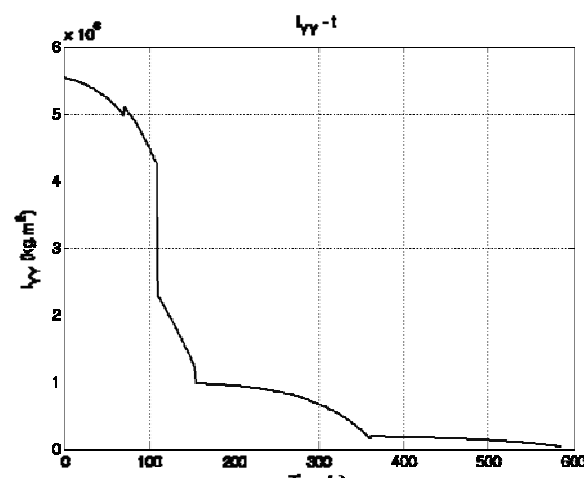
شکل ۱۳- تغییرات dH / dt به فرایند همگرایی

اعمال اختلال اتمسفری

یکی از اغتشاشات جوی نسبتاً شدید، توربولانس است و رخداد آن در ارتفاعات بالا اهمیت بیشتری دارد.

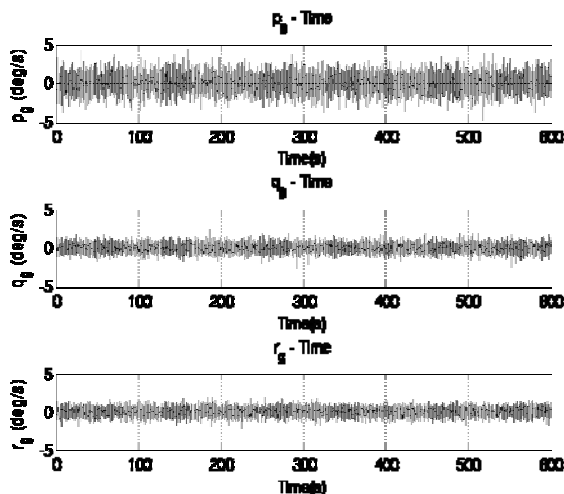


شکل ۱۰- تغییرات ممان اینرسی I_{xx} موشک نسبت به زمان



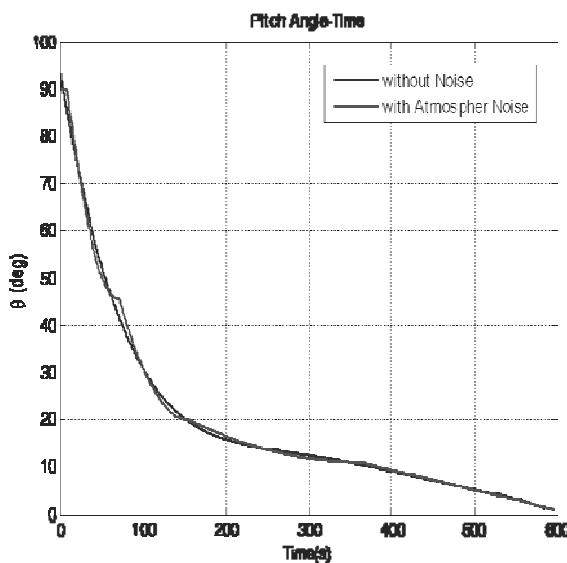
شکل ۱۱- تغییرات ممان اینرسی I_{yy} موشک نسبت به زمان

همچنین در شکل (۱۵) (p_g, q_g, r_g) مؤلفه‌های سرعت زاویه‌ای تندباد در محورهای (x, y, z) در یک لحظه زمانی از شبیه‌سازی و با انتشار آن در زمان، نشان داده شده است:



شکل ۱۵ - مؤلفه‌های سرعت زاویه‌ای تندباد در یک لحظه زمانی از شبیه‌سازی، منتشر در زمان

و در نهایت تأثیر این اختلال بر مهمترین کمیت‌های پروازی یعنی زاویه حمله و زاویه پیج نشان داده می‌شود:



شکل ۱۶ - مقایسه زاویه پیج در حالت اعمال اختلال اتمسفری و بدون آن

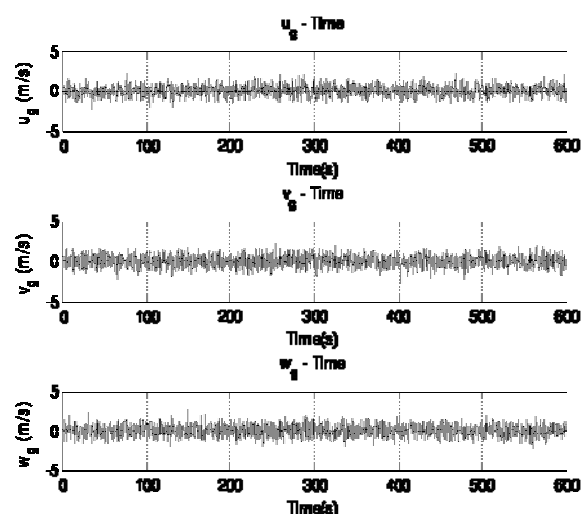
همان‌طور که از شکل (۱۴) و (۱۵) مشخص است، مؤلفه‌های سرعت باد در حدود 2 ± 2 متر بر ثانیه و مؤلفه‌های سرعت زاویه‌ای نیز در حدود 3 ± 3 درجه بر ثانیه نوسان می‌کنند و بر

با توجه به اینکه مکانیزم توربولانس‌ها بسیار پیچیده و متغیر است برای بررسی آن‌ها از روش‌های آماری استفاده می‌شود. عموماً دو فرآیند برای بررسی رفتار تندبادها درنظر گرفته می‌شود؛ بررسی رفتار توربولانس به صورت یکتابع گسسته و دیگری پیوسته. از آنجاکه ماهیت توربولانس‌ها متغیر و تصادفی است، امكان پیش‌بینی و بررسی دقیق آن‌ها وجود ندارد. عموماً برای بررسی رفتار توربولانس‌های جوی از مدل‌های آماری و مدل‌های وابسته به چگالی طیفی استفاده می‌شود.

برای بررسی اثرات توربولانس جوی براساس چگال طیفی قدرت، از دو مدل مرسوم فون کارمن و درایدن استفاده می‌شود که اغلب مدل درایدن به علت سادگی استفاده بیشتری دارد که در این مقاله نیز از این مدل استفاده می‌شود. مدل‌های فون کارمن و درایدن در فرکانس‌های بالای باد، کمی با یکدیگر اختلاف دارند. چگالی طیفی درایدن به صورت زیر مدل می‌شود [۷]:

$$\Phi_{Dry}(\Omega) = \frac{\sigma^2 L}{\pi} \frac{(1 + 3L^2\Omega^2)}{(1 + L^2\Omega^2)^2}; \Omega = \frac{\omega}{U_0} \quad (36)$$

در رابطه (۳۶) L طول موج تندباد با واحد متر، σ میزان ریشه میانگین مربعات $(R.M.S)$ سرعت تندباد با واحد متر بر ثانیه و Ω (فرکانس فاصله‌ای) با واحد رادیان بر ثانیه است. پس از اعمال این اختلال در معادلات شبیه‌سازی، در ادامه و در شکل (۱۴) (u_g, v_g, w_g) مؤلفه‌های سرعت تندباد در محورهای (x, y, z) در یک لحظه زمانی از شبیه‌سازی و با انتشار آن در زمان، نشان داده شده است:



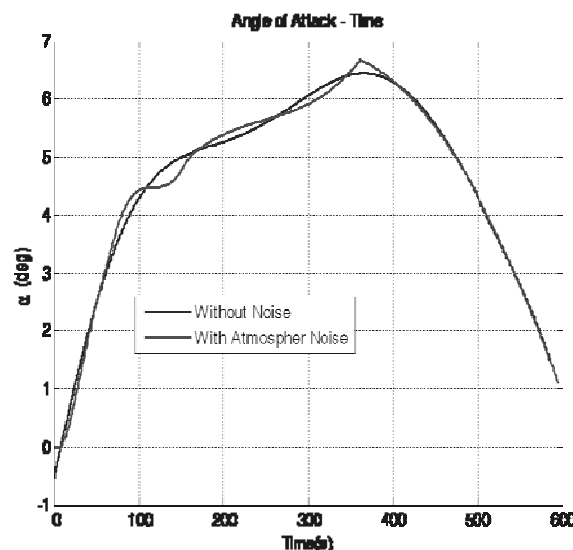
شکل ۱۴ - مؤلفه‌های سرعت تندباد در یک لحظه زمانی از شبیه‌سازی، منتشر در زمان

اثبات^۶ نرم‌افزار است، گرچه برای اعتبارسنجی یکپارچه^۷ منابع اطلاعاتی مطلوب در دست نیست.

در بخش فعال موشک‌های ماهواره‌بر، هدایت بر اساس دنیال کردن یک مسیر از پیش‌تعیین شده، استوار است؛ یعنی در این فاز، هدایت به صورت حلقه باز و با فرمان‌های از پیش‌تعیین شده بر اساس زمان است. برای پرواز نامی موشک، در انتهای زمان این مرحله از هدایت (فاز قدرت) موتور موشک خاموش می‌شود و با ادامه یک فاز غیرفعال^۸ موشک به مدار هدف خود می‌رسد (یا اگر موشک بالستیک باشد، با سقوط آزاد خود، بر روی هدف فرود می‌آید). اما در عمل این نوع هدایت برای موشک‌های ماهواره‌بر (و نیز موشک‌های بالستیک دوربرد؛ ۱۰۰۰ کیلومتر به بالا) با توجه به عوامل طبیعی غیرقابل پیش‌بینی و عدم قطعیت در پارامترهای موشک (مخصوصاً موتور آن)، خطای بسیار زیادی را در تزریق بار به مدار (فاصله برخورد موشک با هدف برای بالستیک‌ها) نتیجه می‌دهد. برای حذف اثر این عوامل لازم است تا هدایت موشک با استفاده از بخش تعیین موقعیت موشک، به صورت حلقه‌بسته صورت پذیرد. این مرحله از هدایت موشک، تا قبل از خاموش شدن موتور است، یعنی کمی قبل از زمان نامی خاموش شدن موتور موشک. در این صورت مرحله هدایت از پیش تعیین شده زودتر از زمان نامی خاموش شدن موتور تمام شده و هدایت موشک از یک زمان مشخص به بعد، به صورت حلقه‌بسته توسط یک روش هدایتی مناسب انجام می‌شود. در مرحله هدایت حلقه‌بسته، هرگاه سیستم هدایت تشخیص بدهد که خاموش شدن موتور منجر به رسیدن مرحله بالایی موشک به مدار (سقوط آزاد موشک بر روی هدف برای بالستیک‌ها) می‌شود، فرمان خاموشی موتور را صادر می‌کند. به طور خلاصه مراحل هدایت در فاز قدرت یک موشک ماهواره‌بر (بالستیک) را می‌توان به این صورت بیان کرد: ۱- هدایت بر اساس هدایت حلقه‌باز ۲- تغییر روش هدایتی در یک زمان مشخص از هدایت حلقه‌باز به هدایت حلقه‌بسته ۳- خاموش کردن موتور در صورت تحقق شرط لازم، مهم‌ترین و کاربردی‌ترین قانون هدایت حلقه‌باز، هدایت برنامه فراز است که در این مقاله به آن پرداخته شده است و هدف اصلی این مقاله یافتن یک برنامه فراز بهینه برای فاز هدایتی حلقه‌باز بود. ضمن اینکه استفاده از یک روش کنترل بهینه برای یافتن مسیر بهینه در این مقاله بررسی شد، متغیرهای حالت نیز به دو دسته کند و تند تقسیم شدند.

با اعمال توربولانس به معادلات و مقایسه نتایج با حالت بدون توربولانس، مقاوم‌بودن موشک به این اختلال اتمسفری به اثبات رسید.

طبق شکل‌های (۱۶) و (۱۷)، تأثیر توربولانس بر روی رفتار پرنده بسیار ناچیز است. این تأثیر بسیار کم توربولانس را می‌توان به «مقاوم‌بودن وسیله پرنده در برابر اختلال» تعبیر کرد.



شکل ۱۷- مقایسه زاویه حمله در حالت اعمال اختلال اتمسفری و بدون آن

البته دلیل اصلی این موضوع این است که در ارتفاعات بالا، از شدت توربولانس کاسته می‌شود و وسیله پرنده نیز بیشترین زمان پرواز خود را در خارج از جو سپری می‌کند و لذا موشک‌های ماهواره‌بر یا بالستیک در برابر توربولانس‌ها مقاوم هستند؛ در حالی که برای وسیله پرنده‌ای که بیشترین زمان پرواز را در نزدیکی سطح زمین سپری می‌کند، این موضوع اهمیت می‌یابد.

نتیجه‌گیری

در این مقاله، نرم‌افزاری در محیط متلب تهیه شده است که در آن با استفاده از روش غیرمستقیم کنترل بهینه و حل عددی سریع‌ترین سقوط، مسیر بهینه موشک ماهواره‌بر را براساس ماکریم‌سازی بار محموله تعیین می‌کند. پاسخ‌های نمودارهای (۳-۱۲) مربوط به یک موشک سه مرحله‌ای بوستردار است. در این مثال بار محموله اولیه موشک ۹ تن بود و بعد از تعیین مسیر بهینه، جرم نهایی موشک به ۱۰/۷ تن رسید و در واقع ۱/۷ تن بر جرم نهایی موشک افزوده شد. قابل ذکر است که نتایج حاصل از نرم‌افزار حاصل، هماهنگی بسیار مطلوبی را در مقایسه با نتایج مرجع [۴] دارد که این خود به منزله

- [4] Waldron, W. M., "Optimal Vertical Plane Booster Guidance Including Pitch Dynamics," Dissertation for the Degree of Doctor of Philosophy, Blacksburg, Virginia, April 1996.
- [5] Park, S. Y., "Optimization and Guidance of Ascent Trajectories with Inequality Constraints," Texas A & M University, A Dissertation for the Degree of Doctor of Philosophy, May 1996.
- [6] Kirk, D. E., *Optimal Control Theory and Introduction*, Prentic-Hall, 1970.
- [7] Roskam, J., *Advanced Flight Dynamic*, First Edition, NewYork, Roskam Aviation and Engineering Corporation, 1979.

مراجع

- [۱] شاهمیرزایی جشووقانی، صدیقه و نصرت‌اللهی، مهران. «روش مهندسی برای تعیین مسیر بهینه موشک بالستیک بر پایه برد ماکریزم»، هفتمین کنفرانس انجمن هوافضای ایران، اسفند ۱۳۸۶.
- [۲] Regan, F. j., *Reentry Vehicle Dynamics*. (AIAA Education Series), Published by American Institute of Aeronautics and Astronautics, INC. 1984.
- [۳] شاهمیرزایی جشووقانی، صدیقه و نصرت‌اللهی، مهران. «طراحی و بهینه‌سازی برنامه مسیر موشک ماهواره‌بر چندمرحله‌ای سوخت مایع و دارای بوستر»، دانشگاه صنعتی مالک اشتر، مجتمع دانشگاهی هوافضا، تابستان، ۱۳۸۷.